

## Viskoelastik Akışkanların İvmeli Akışında Malzeme Parametrelerinin Türev Tipli Bünye Denklemlerine Etkisi

Mehmet KOPAÇ, Adnan TOPUZ  
*Karaelmas Üniversitesi, Makina Mühendisliği Bölümü,  
67100, Zonguldak-TÜRKİYE*  
Mahir ARIKOL  
*Boğaziçi Üniversitesi, Kimya Mühendisliği Bölümü,  
80815 Bebek, İstanbul-TÜRKİYE*

Geliş Tarihi 15.07.1997

### Özet

Bu çalışmada literatürde başarılı olduğu saptanmış üç türev-tipli bünye denklemine (White-Metzner, Oldroyd 3-sabit ve Kopaç-Arikol) malzeme parametrelerinin etkisi araştırılmıştır. Çalışmada, daralıp-genişleyen bir akım kanalının simetri eksenini boyunca olan akımı dikkate alınmıştır. Bünye denklemlerinde yer alan malzeme parametrelerinin etkisini belirlemek için akım kinematığı ve modele ait türev operatörü kullanılarak, modellerin tansörel ifadeleri simetri eksenini üzerine indirgenmiştir. İndirgenmiş lineer olmayan adi diferansiyel denklemlerde bulunan hız ve başlangıç viskozitesi olarak Arikol(1976, 1985)'un kullandığı değerler kullanılmıştır. İndirgenmiş bünye denklemleri 4. mertebeden Runge-Kutta yöntemi yardımı ile nümerik olarak çözülmüştür. Bu hesaplamalarda hız, hızın 1. ve 2. türev değerleri girdi olarak denklemlerde kullanılmıştır. Herbir malzeme parametresinin üç değişik değeri için bünye denklemleri çözülerek, simetri eksenini boyunca normal gerilme farkı değerleri belirlenmiştir. Hesaplanan normal gerilme değerleriyle Arikol(1976, 1985)'un deneysel değerleri arasındaki hata kareleri toplamı belirlenmiştir. Sonuç olarak her bünye denkleminde duyarlı ve duyarlı malzeme parametreleri tesbit edilmiştir.

**Anahtar Sözcükler:** Viskoelastik akışkan; Bünye denklemleri; İvmeli akış; Runge-Kutta

### Effect of Material Parameters on Rate-Type Constitutive Equations in Accelerated Flow of Viscoelastic Fluids

#### Abstract

The effect of material parameters on three rate-type constitutive equations (White-Metzner, Oldroyd 3-constant and Kopaç-Arikol) used successfully according to the literature was investigated. The flow along the symmetry axis of a converging-diverging flow channel was considered. In order to determine the effect of material parameters appearing in constitutive equations, the tensorial expressions of the models were reduced to the axis of symmetry, using derivative operators of models and flow kinematics. Arikol's values (1976, 1985) were used for the velocity and initial viscosity values appearing in reduced nonlinear ordinary differential equations. The reduced constitutive equations were solved numerically using the 4th order Runge-Kutta method. In these calculations, velocity and the 1st and 2nd derivatives of velocity were used as input in the equations. Solving the constitutive equations for 3 different values of the material parameters, the normal stress differences were determined along the axis of symmetry. The sum of squares between the calculated normal stress values and Arikol's(1976, 1985) experimental values were determined. As a result, the material parameters, sensitive and non-sensitive, were determined in each of the constitutive equations.

**Key Words:** Viscoelastic fluids; Constitutive equations; Accelerated flow; Runge-Kutta

## Giriş

Viskoelastik akışkanların çeşitli akış geometri-lerinde elde edilen deneysel reolojik verilerle nümerik verilerin uyumlu olduğu bir bünye denkleminin kul-lanışlı olduğu araştırmacılar tarafından vurgulan-maktadır. Böyle bir bünye denkleminde, viskoe-lastik akışkanın özelliklerini tam olarak yansıtmayı beklenir.

Giesekus(1982, 1983, 1985), Larson(1988) ve Davidson ve arkadaşları(1993) bünye denklemleri üzerine bazı çalışmalar yapmışlardır. Yapılan çalışmalar sonucunda viskoelastik bir akışkanın özelliklerine tam olarak cevap verebilecek bir mod-elin önerilmesinin güç olduğu kanısına varmışlardır.

Daralıp-genişleyen bir kanaldan viskoelastik bir akışkanın akışında deneysel olarak hız ve gerilme değerlerini elde etmek için Arıkol(1976, 1985) sırasıyla laser doppler anemometresi ve çift kırıcılıklı ölçü aletlerini kullanmıştır. Lyazid ve arkadaşları(1980), Kramer ve Meiss-ner(1980), Ranade ve Ulbrecht(1983), Guil-lot(1985), Mackley ve Moore(1986), Dunlap ve Leal(1987), Raiford ve arkadaşları(1989) ve Vlas-sopoulos(1990) çalışmalarında bünye denklemlerinin değerlendirilmesinde veri elde etmek için Arıkol(1976)'un kullandığı ölçü aletlerini kul-lanmışlardır. Vlassopoulos ve Hatzikiriakos(1995) çalışmalarında 2. zaman sabitli genelleştirilmiş Giesekus modelini kullanarak viskoelastik bir akışkanın davranışını incelemişlerdir. Kopaç(1992) ve Kopaç ve arkadaşları(1997) değişik tipteki bünye denklemlerinin çözümleri üzerine çalışmalar yapmışlardır. Kopaç ve Arıkol(1997) çalışmalarında bazı mevcut bünye denklemlerini kullanarak simetri eksenini boyunca olan akım için daha başarılı olan yeni bir bünye denklemi önermişlerdir.

Yapılan bu çalışmada; daha önce yapılan çalışmalarda başarılı bulunan White ve Metz-ner(1965)'in önerdiği White-Metzner, Williams ve Bird(1962)'in önerdiği Oldroyd 3-sabit ve Kopaç-Arıkol modellerinde yer alan malzeme parametrelerinin bünye denklemlerine etkilerinin araştırılması amaçlanmaktadır.

## Akım kinematığı

Şekil 1'de gösterilen ve Arıkol(1976)'un çalışmasında kullandığı akım kanalı bu çalışmada da kullanılmıştır. Böyle bir kanaldaki akış, iki boyutlu

bir akış olarak düşünülmüş olup 3 yönündeki tüm değişimler ihmal edilmiştir.

Simetri eksenini boyunca olan akım için,  $x_2=0$  da;

$$V_1 = V_1(x_1) \quad (1)$$

ve

$$V_2 = 0 \quad ; \quad \frac{\partial V_2}{\partial x_1} = 0 \quad (\text{tüm } x_1 \text{ için}) \quad (2)$$

Sıkışamaz bir akışkan için süreklilik denklemi aşağıdaki gibidir.

$$\frac{\partial V_1}{\partial x_1} + \frac{\partial V_2}{\partial x_2} = 0 \quad (3)$$

Deformasyon hız tansörünün bileşenleri hız gradyanı cinsinden aşağıdaki gibidir.

$$e_{ij} = \frac{1}{2}(V_{i,j} + V_{j,i}) \quad (4)$$

Simetri eksenini boyunca olan akım için deformasyon hız tansörünün matris formu (1, 2, 3, 4) eşitlikleri kullanılarak aşağıdaki gibi elde edilir.

$$\bar{e} = \begin{bmatrix} 1 & 0 & 0 \\ 0 & -1 & 0 \\ 0 & 0 & 0 \end{bmatrix} \frac{\partial V_1}{\partial x_1} \quad (5)$$

Girdap tansörünün bileşenleri tanım olarak aşağıdaki ifadelerden elde edilir.

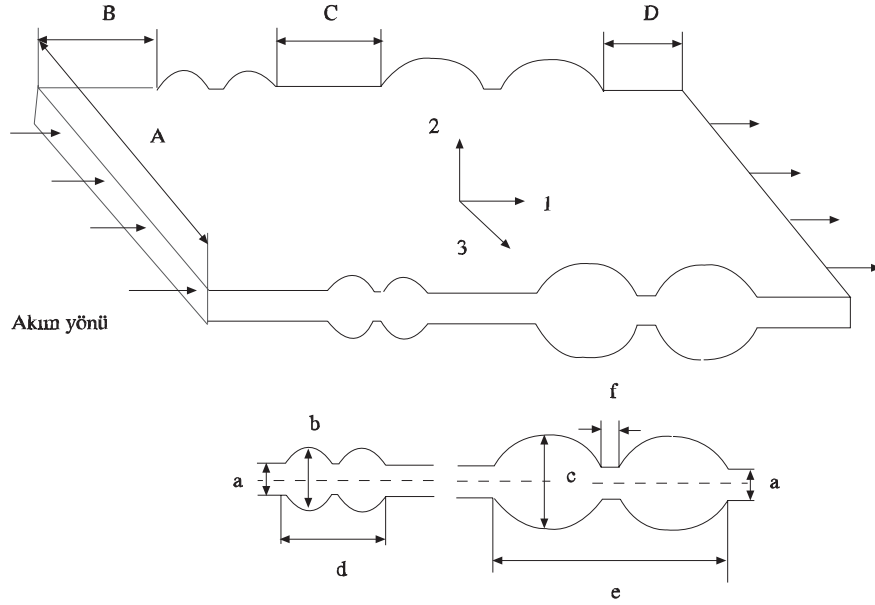
$$\Omega_{ij} = (V_{j,i} - V_{i,j}) \quad (6)$$

Aynı akım şartları için girdap tansörünün matris formu (1, 2, 3, 6) eşitlikleri kullanılarak aşağıdaki gibi bulunmuştur,

$$\bar{\Omega} = \begin{bmatrix} 0 & 0 & 0 \\ 0 & 0 & 0 \\ 0 & 0 & 0 \end{bmatrix} \quad (7)$$

## Kullanılan bünye denklemleri

Çalışmada üç değişik bünye denklemi için malzeme parametrelerinin etkisi araştırılmıştır. İncelenen bünye denklemlerinin genel formları, içerdikleri malzeme parametreleri ve simetri eksenini üzerine indirgenmeleri aşağıda anlatılmıştır.



Şekil 1. Akım kanalının üstten ve yandan görünüşü. Boyutlar(m): A=0.06; B=0.02; C=0.2; D=0.17; a=0.00207 ± 0.00005; b=0.00445 ± 0.0005; c= 0.00695 ± 0.00005; d=0.00875 ± 0.0001; e=0.0175 ± 0.0001; f= 0.0095 ± 0.00005 (Arikol, 1976, 1985).

### 1. White-Metzner bünye denklemi

White ve Metzner(1965)'in önerdiği bünye denkleminin tansörel formu aşağıdaki gibidir.

$$\tilde{\tau} + \theta \frac{\delta}{\delta t} \tilde{\tau} = -2\mu \tilde{e} \quad (8)$$

Burada  $\tilde{\tau}$  gerilme tansörü,  $\theta$  gevşeme zaman parametresi,  $\mu$  mutlak viskozite ve  $\tilde{e}$  deformasyon hızları tansörüdür.  $\delta/\delta t$  konvektif türev operatörü olup bu model için aşağıdaki gibi tanımlanmıştır.

$$\frac{\delta}{\delta t}()_{ij} = \frac{\partial}{\partial t}()_{ij} + V_k \frac{\partial}{\partial x_k}()_{ij} + \frac{\partial V_k}{\partial x_j}()_{ik} + \frac{\partial V_k}{\partial x_i}()_{kj} \quad (9)$$

White ve Metzner(1965)'in kullandığı  $\theta$  ve  $\mu$  aşağıdaki gibidir;

$$\theta = \frac{1}{\theta_0 + \theta_1 |II_e|^{r/2}} \quad ; \quad \mu = \frac{\eta_0}{1 + d_1 |II_e|^{r/2}} \quad (10)$$

(10) eşitliğinde görünen  $\theta_0$ ,  $\theta_1$ ,  $d_1$  ve  $r$  gevşeme zamanı ve viskozite fonksiyonuna ait sabit parametrelerdir.  $\eta_0$  başlangıç viskozitesi,  $II_e$  deformasyon hızları tansörünün 2. invariantsı olup incelenen akım için aşağıdaki gibi bulunmuştur.

$$II_e = - \left( \frac{\partial V_1}{\partial x_1} \right)^2 \quad (11)$$

White-Metzner modelinin simetri eksenine indirgenmesi:

Eşitlik(9) ile tanımlanan türev operatörünün gerilme üzerine uygulanması aşağıdaki gibidir,

$$\frac{\delta \tau_{ij}}{\delta t} = \frac{\partial \tau_{ij}}{\partial t} + V_k \frac{\partial \tau_{ij}}{\partial x_k} + \frac{\partial V_k}{\partial x_j} \tau_{ik} + \frac{\partial V_k}{\partial x_i} \tau_{kj} \quad (12)$$

Simetri eksenini boyunca kararlı akım için akım kinematiği kullanılarak gerilmeye ait türev bileşenleri aşağıdaki gibi bulunmuştur.

11 yönünde:

$$\frac{\delta \tau_{11}}{\delta t} = V_1 \frac{\partial \tau_{11}}{\partial x_1} + 2 \frac{\partial V_1}{\partial x_1} \tau_{11} \quad (13)$$

22 yönünde:

$$\frac{\delta \tau_{22}}{\delta t} = V_1 \frac{\partial \tau_{22}}{\partial x_1} + 2 \frac{\partial V_2}{\partial x_2} \tau_{22} \quad (14)$$

(13) ve (14) eşitlikleri sırasıyla (8) eşitliğinde yerine konularak aşağıdaki denklemler elde edilmiştir.

$$\tau_{11} + \theta \left[ V_1 \frac{\partial \tau_{11}}{\partial x_1} + 2 \frac{\partial V_1}{\partial x_1} \tau_{11} \right] = -2\mu \frac{\partial V_1}{\partial x_1} \quad (15)$$

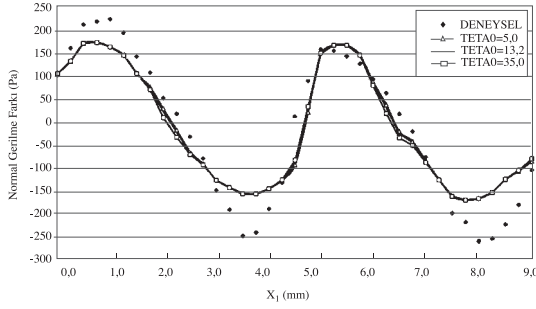
$$\tau_{22} + \theta \left[ V_1 \frac{\partial \tau_{22}}{\partial x_1} + 2 \frac{\partial V_2}{\partial x_2} \tau_{22} \right] = -2\mu \frac{\partial V_2}{\partial x_2} \quad (16)$$

(3) eşitliği ile tanımlanan süreklilik denklemi kullanılarak (16) eşitliği aşağıdaki ifadeye indirgenir.

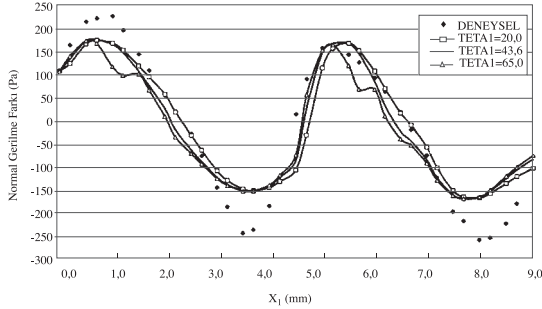
$$\tau_{22} + \theta \left[ V_1 \frac{\partial \tau_{22}}{\partial x_1} - 2 \frac{\partial V_1}{\partial x_1} \tau_{22} \right] = -2\mu \frac{\partial V_1}{\partial x_1} \quad (17)$$

(15) ve (17) eşitlikleri taraf tarafa çıkartılıp, gerilmenin temel prensibinden normal gerilmelerin toplamını sıfır almak suretiyle(Fredrickson, 1964) ve bütün terimler  $\theta V_1$  ile bölüldüğünde, 11 ve 22 yönündeki normal gerilme farkına ait diferansiyel denklem aşağıdaki gibi elde edilir.

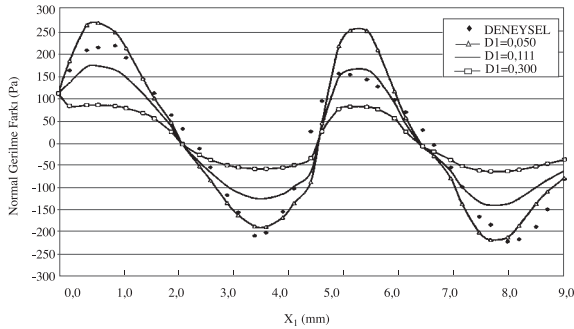
$$\frac{\partial(\tau_{11} - \tau_{22})}{\partial x_1} + \frac{(\tau_{11} - \tau_{22})}{\theta V_1} = -\frac{4\mu}{\theta V_1} \frac{\partial V_1}{\partial x_1} \quad (18)$$



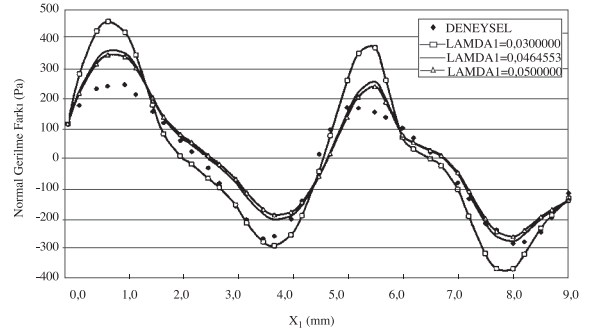
Şekil 2. White-Metzner Modeli'nde Teta0 ( $\theta_0$ )'ın etkisi.



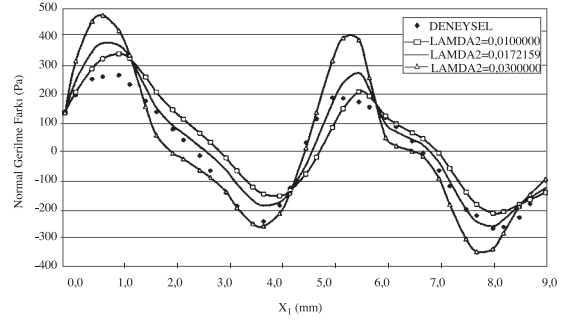
Şekil 3. White-Metzner Modeli'nde Teta1 ( $\theta_1$ )'ın etkisi.



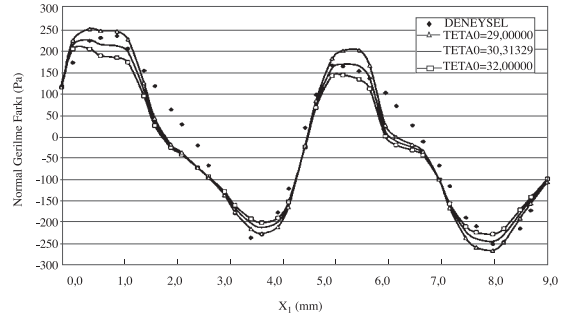
Şekil 4. White-Metzner Modeli'nde d1 (D1)'in etkisi.



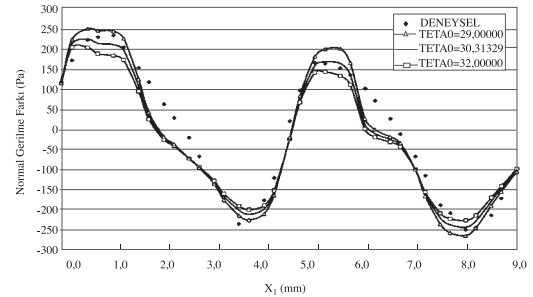
Şekil 5. Oldroyd 3-Sabit Modeli'nde Lamda1 ( $\lambda_1$ )'in etkisi.



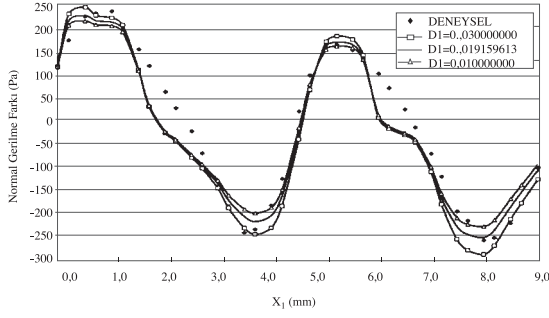
Şekil 6. Oldroyd 3-Sabit Modeli'nde Lamda2 ( $\lambda_2$ )'nin etkisi.



Şekil 7. Kopaç-Arikol Modeli'nde Teta0 ( $\theta_0$ )'ın etkisi.



Şekil 8. Kopaç-Arikol Modeli'nde Teta1 ( $\theta_1$ )'in etkisi.



Şekil 9. Kopaç-Arikol Modeli'nde d1 (D1)'in etkisi

## 2. Oldroyd 3-sabit modeli

$$(1 + \lambda_1 \Pi) \ddot{\tilde{\tau}} = -2\eta_0(1 + \lambda_2 \Pi) \dot{\tilde{\epsilon}} \quad (19)$$

Burada  $\lambda_1$  ve  $\lambda_2$ , 1. ve 2. zaman sabitleri;  $\Pi$ , Oldroyd 3-sabit modeli için türev operatörü olup Williams ve Bird(1962) tarafından aşağıdaki gibi tanımlanmıştır.

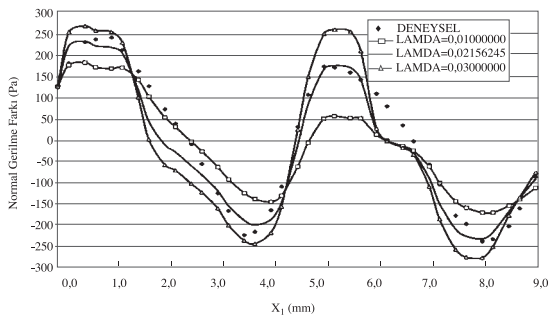
$$\Pi()_{ij} = \frac{D}{Dt}()_{ij} - ()_{ik}e_{kj} - ()_{jk}e_{ki} + \frac{2}{3}()_{kn}e_{kn}\delta_{ij} \quad (20)$$

Burada  $\delta$ , kroneker delta ve  $D/Dt$ , Jaumann türevi olup aşağıdaki gibi tanımlanmıştır.

$$\frac{D}{Dt}()_{ij} = \frac{\partial}{\partial t}()_{ij} + V_k \frac{\partial}{\partial x_k}()_{ij} - \Omega_{ik}()_{kj} \quad (21)$$

White-Metzner modeli için yapılan işlemler, Oldroyd 3-sabit modelinde tekrarlanarak bu modelin simetri eksenine indirgenmiş diferansiyel eşitliği aşağıdaki gibi bulunmuştur.

$$\frac{\partial(\tau_{11} - \tau_{22})}{\partial x_1} + \frac{(\tau_{11} - \tau_{22})}{\lambda_1 V_1} = -\frac{4\eta_0}{\lambda_1 V_1} \left[ \frac{\partial V_1}{\partial x_1} + \lambda_2 V_1 \frac{\partial^2 V_1}{\partial x_1^2} \right] \quad (22)$$



Şekil 10. Kopaç-Arikol Modeli'nde Lamda ( $\lambda$ )'nın etkisi

## Kopaç-Arikol Modeli(Kopaç ve Arikol, 1997)

$$(1 + \theta \Pi) \ddot{\tilde{\tau}} = -2\mu(1 + \lambda \Pi) \dot{\tilde{\epsilon}} \quad (23)$$

Benzer işlemler bu model için uygulandığında Kopaç-Arikol modelinin simetri eksenine indirgenmiş ifadesi aşağıdaki gibi bulunmuştur;

$$\frac{\partial(\tau_{11} - \tau_{22})}{\partial x_1} + \frac{(\tau_{11} - \tau_{22})}{\theta V_1} = -\frac{4\mu}{\theta V_1} \left[ \frac{\partial V_1}{\partial x_1} + \lambda V_1 \frac{\partial^2 V_1}{\partial x_1^2} \right] \quad (24)$$

Burada  $\theta$  ve  $\mu$ 'nün ifadeleri, White-Metzner modelinde (10) eşitliği ile tanımlandığı gibi kullanılmıştır.  $\lambda$  ise 2. zaman sabiti olup sabit parametredir.

## Hesaplama yöntemi

Bu çalışmada (18, 22, 24) eşitliklerinde yer alan hız, hızın 1. ve 2. türev değerleri Arikol(1976)'un çalışmasından sağlanmıştır. Simetri eksenine üzerine indirgenmiş olan bu üç lineer diferansiyel denklem 4. mertebeden Runge-Kutta nümerik integrasyon yöntemi yardımıyla çözülerek, normal gerilme farkı değerleri belirlenmiştir. Bu hesaplamalarda malzeme parametreleri girdi olarak kullanılmıştır. Çalışmada kullanılan parametre değerleri, Kopaç ve arkadaşları(1997) ve Kopaç ve Arikol(1997)'un çalışmalarında belirlenmiş olan değerler etrafında seçilmiştir. Hesaplamalarda kullanılan nokta sayısı 181 olup sonuçlar 37 nokta için sunulmuştur. Değerlendirmelerde toplam hata kareleri ve aşağıda tanımlanan ortalama hata kullanılmıştır.

$$\text{Ortalama hata} = (\text{Hata karesi toplamı})^{1/2} / \text{nokta sayısı} \quad (25)$$

## Sonuç ve Tartışma

Şekil 1'de gösterilen kanaldan viskoelastik bir akışkanın simetri eksenine boyunca olan kararlı simetri eksenine indirgenmiş (18, 22, 24) eşitliklerinin Runge-Kutta yöntemi ile çözümleri yapılmıştır. White-Metzner modelinin  $\theta_0$ ,  $\theta_1$  ve  $d_1$  parametrelerine ait sonuçlar grafik olarak sırasıyla Şekil 2, 3 ve

4'de, Oldroyd 3-sabit modelindeki  $\lambda_1$  ve  $\lambda_2$  parametrelerine ait sonuçlar Şekil 5 ve 6'da, Kopaç-Arikol modelindeki  $\theta_0$ ,  $\theta_1$ ,  $d_1$  ve  $\lambda$  parametrelerine ait sonuçlar da Şekil 7, 8, 9 ve 10'da sunulmuştur. Modellerde yer alan parametre değişimleri için bulunan sonuçlarla deneysel gerilme farkı arasındaki hata kareleri toplamına ve ortalama hataya ait sonuçlar Tablo 1, 2 ve 3'de sunulmuştur. Şekil 2'den görüldüğü gibi White-Metzner modelindeki  $\theta_0$ 'ın bünye denklemi üzerinde etkisi çok azdır. Buna karşın,  $\theta_1$  kanalın ekstremum bölgelerinde değişme yapmazken, diğer bölgelerinde gerilme farkı değişiminde bir öteleme yapmaktadır(Şekil 3). Aynı modelde yer alan  $d_1$  sadece ekstremum bölgelerinde değişim yapmakta olup, parametre değeri arttıkça gerilme farkı değerlerinde bir düşme olduğu saptanmıştır(Şekil 4). Şekil 5'den görüldüğü gibi Oldroyd 3-sabit modelindeki  $\lambda_1$  ve  $\lambda_2$ , hem

kanal boyunca hem de ekstremum bölgelerinde gerilme farkı değerlerinde değişim etkisine sahiptirler.  $\lambda_1$  değeri artarken ekstremum bölgesinde gerilme farkı değerleri düşmekte, kanalın daralan kısımları için artmakta ve genişleyen kısımları için de azalmaktadır(Şekil 5).  $\lambda_2$ 'deki etki ise  $\lambda_1$ 'deki etkinin tersi doğrultusunda olduğu Şekil 6'dan görülmektedir. Kopaç-Arikol modelindeki  $\theta_0$ 'ın etkisi, White-Metzner modelindeki  $d_1$ 'in etkisine ters yönde olarak benzemekte olduğu saptanmıştır(Şekil 7).  $\theta_1$  değerlerine göre doğru orantılı olmak üzere gerilme farkı değerlerinde bir değişim olduğu Şekil 8'den görülmektedir. Şekil 9'dan görüldüğü gibi  $d_1$ 'in etkisi, White-Metzner modelindeki  $d_1$ 'in etkisine benzemektedir. Bu modelde yer alan diğer bir parametre  $\lambda$ 'ın etkisi ise Oldroyd 3-sabit modelindeki  $\lambda_2$ 'nin etkisine benzerdir(Şekil 10).

**Tablo 1.** White-Metzner Modeli'ne ait hata değerleri(37 nokta için)

	Parametre Değeri	Ortalama Hata (x0.1Pa)	Hata Karesi Toplamı (x0.1Pa) <sup>2</sup>
<b>TETA0</b>	5.000	0.828	939
	13.20	0.832	950
	35.00	0.846	981
<b>TETA1</b>	20.00	0.869	1034
	43.60	0.832	950
	65.00	0.94	1210
<b>D1</b>	0.050	0.823	929
	0.111	0.832	950
	0.300	1.622	3603

**Tablo 2.** Oldroyd 3-Sabit Modeli'ne ait hata değerleri(37 nokta için)

	Parametre Değeri	Ortalama Hata (x0.1Pa)	Hata Karesi Toplamı (x0.1Pa) <sup>2</sup>
<b>LAMDA1</b>	0.0300000	1.373	2581
	0.0464553	0.827	936
	0.0500000	0.832	950
<b>LAMDA2</b>	0.0172159	1.065	1554
	0.0172159	0.827	936
	0.0300000	1.432	2807

**Tablo 3.** Kopaç-Arikol Modeli'ne ait hata değerleri(37 nokta için)

	Parametre Değeri	Ortalama Hata (x0.1Pa)	Hata Karesi Toplamı (x0.1Pa) <sup>2</sup>
<b>TETA0</b>	29.000000000	0.746	762
	30.313290000	0.655	588
	32.000000000	0.658	593
<b>TETA1</b>	-1.800000000	0.804	887
	-1.687326000	0.655	588
	-1.400000000	0.708	688
<b>D1</b>	-0.030000000	0.745	760
	-0.019159613	0.655	588
	-0.010000000	0.660	597
<b>LAMDA</b>	0.010000000	1.050	1499
	0.021562450	0.655	588
	0.030000000	1.070	1560

**Sonuç**

İncelenen modeller arasında White-Metzner modeline ait olan  $\theta_0$  en duyarsız parametre olarak belirlenmiştir. White-Metzner modelindeki  $d_1$ , Kopaç-Arikol modelindeki  $\theta_0$  ve  $d_1$  ekstremum bölgelerinde değişim etkisi göstermektedirler. White-Metzner modelindeki  $\theta_1$ 'in sadece daralma ve genişleme bölgelerinde etkili olduğu saptanmıştır. Oldroyd 3-sabit modelindeki  $\lambda_2$  ve Kopaç-Arikol modelindeki  $\theta_1$  ve  $\lambda$  kanalın her bölgesinde etkili olan parametrelerdir. White-Metzner modelinde  $d_1$ , Oldroyd 3-sabit modelinde  $\lambda_2$  ve Kopaç-Arikol modelinde ise  $\theta_1$  ve  $\lambda$  duyarlı parametreler olarak tesbit edilmiştir.

**Semboller**

- $d_1$  White-Metzner ve Kopaç-Arikol modelleri için viskozite parametresi  
 $e_{ij}$  Deformasyon hız tansörü bileşenleri  
 $\bar{e}$  Deformasyon hız tansörü matrisi  
 $II_e$  Deformasyon hız tansörünün 2. invariantı

- $V_1$  1-yönündeki hız bileşeni  
 $V_2$  2-yönündeki hız bileşeni  
 $r$  White-Metzner ve Kopaç-Arikol modelleri için viskozite ve 1. zaman sabiti parametresi  
 $x_1$  1- yönündeki koordinat eksenini  
 $x_2$  2- yönündeki koordinat eksenini  
 $\lambda$  Kopaç-Arikol model için 2. zaman sabiti  
 $\lambda_1$  Oldroyd 3-sabit modeli için 1. zaman sabiti  
 $\lambda_2$  Oldroyd 3-sabit modeli için 2. zaman sabiti  
 $\mu$  White-Metzner modeli için viskozite  
 $\eta_0$  Başlangıç viskozitesi  
 $\theta$  White-Metzner ve Kopaç-Arikol modelleri için 1. zaman sabiti  
 $\theta_0$  White-Metzner ve Kopaç-Arikol modelleri için 1. zaman sabiti parametresi  
 $\theta_1$  White-Metzner ve Kopaç-Arikol modelleri için 1. zaman sabiti parametresi  
 $\tau_{ij}$  Gerilme tansörü bileşenleri  
 $\bar{\tau}$  Gerilme tansörü  
 $\Omega_{ij}$  Girdap tansörü bileşenleri  
 $\bar{\Omega}$  Girdap tansörü matrisi

**Kaynaklar**

- Arikol, M., "Accelerated Non-Newtonian Flow" Ph. D. Dissertation" University of Virginia, 1976.  
Arikol, M., "Kinematics and Normal Stress Differences of A Viscoelastic Fluid Undergoing Wiggle Flow", J. of Non-Newtonian Fluid Mech., 19, 209-227, 1985.  
Davidson, D.L., Graessley, W.W and Schowalter, W.R., "Velocity and Stress Profiles of Polymeric Liquids Flowing in A Periodically Constricted Channel, J. of Non-Newtonian Fluid Mech., 49, 317, 1993.  
Dunlap, P.N. and Leal, L.G., J. of Non-Newtonian Fluid Mech., 23, 5, 1987.  
Fredrickson, A.G., "Principles and Application of Rheology", Prentice-Hall Inc., Englewood-Cliffs, New Jersey, 1964.

- Giesekus, H., "A Simple Constitutive Equation for Polymer Fluids Based on the Concept of Deformation-Dependent Tensorial Mobility", *J. of Non-Newtonian Fluid Mech.*, 11, 69-109, 1982.
- Giesekus, H., "Stressing Behaviour in Simple Shear Flow as Predicted by A New Constitutive Model for Polymer Fluids", *J. of Non-Newtonian Fluid Mech.*, 12, 367-374, 1983.
- Gisekus, H., "A Comparison of Molecular and Network-Constitutive Theories for Polymer Fluids, in Lodge, A.S. and Nohel, J.A.(Eds)", *Viscoelasticity and Rheology*, Academic Press, New York, 1985.
- Guillot, D., *J. of Soc. Pet. Eng.*, 25, 39, 1985.
- Kopaç, M., "Daralan-Genişleyen Akım Kesitinde Newtonian Olmayan Akışkan için Bünye Denklemlerinin Değerlendirilmesi", *Doktora Tezi, Y.T.Ü. Fen Bilimleri Enstitüsü, İstanbul*, 1992.
- Kopaç, M., Hortaçsu, A. and Arıkol, M., "Comparative Evaluation of Some Existing Rate-Type Constitutive Equations for A Viscoelastic Fluid Undergoing Wiggle Flow", *J. of Non-Newtonian Fluid Mech.*, 68, 1-15, 1997.
- Kopaç, M. ve Arıkol, M., "Daralıp-Genişleyen Kanalda Viskoelastik Bir Akışkan İçin Türev Tipli Yeni Bir Modelin Geliştirilmesi", *Tr. J. of Engineering and Environmental Sciences*, Cilt 21, 149-154, 1997.
- Kramer, H. and Meissner, J., in Astarita, G., Marrucci, G. and Nicolais, L. (Eds.), *Proc. Eighth Int. Congress on Rheology, Naples, Vol. 2*, p. 463, 1980.
- Larson, R.G., "Constitutive Equations for Polymer Melts and Solutions", *Butterworths, Boston*, 1988.
- Lyazid, A., Scrivener, O. and Teitgen, R., in Astarita, G., Marrucci, G. and Nicolais, L. (Eds.), *Proc. Eight Int. Congress on Rheology, Naples, Vol. 2*, p. 141, 1980.
- Mackley, M. R. and Moore, I. P. T., *J. of Non-Newtonian Fluid Mech.* 21, 337, 1986.
- Raiford, W. P., Quinzani, L. M., Coates, P. J., Armstrong, R. C. and Brown, R. A., *J. of Non-Newtonian Fluid Mech.*, 32, 39, 1989.
- Ranade, V. R. and Ulbrecht, J. J., *Chem. Eng. Commun.*, 20, 253, 1983.
- Vlassopoulos, D., *Ph. D. Thesis, Princeton University*, 1990.
- Vlassopoulos, D. and Hatzikiriakos, S. G. "A Generalized Giesekus Constitutive Model with Retardation Time and its Association to the Spurt Effect", *J. of Non-Newtonian Fluid Mech.*, 57, 119-136, 1995.
- White, J. L. and Metzner, A. B., *AIChE J.*, 11, 324, 1965.
- Williams, M. C. and Bird, R. B., *Phys. Fluids*, 5, 1126, 1962.